

低阈值的三段复合腔 GaAlAs/GaAs 单模激光器

李玉东 朱东海 刘式墉 苏士昌 张淑芝

(吉林大学电子科学系, 130023)

摘要: 本文介绍的低阈值三段复合腔 GaAlAs/GaAs 激光器, 其最低 CW 阈值电流为 18 mA, 具有稳定的单模性, 外微分量子效率为 50~80%, 线性功率可达 30 mW 以上。在 5°C 温度范围内保持单纵模工作不变, 最高 CW 激射温度为 117°C。

关键词: 内条形结构, 三段复合腔

Low threshold three-segmented composite cavity structure GaAlAs/GaAs single-mode laser

Li Yudong, Zhu Donghai, Liu Shiyong, Shu Shichang, Zhang Shuzhi

(Department of Electronics Sciences, Jilin University, Changchun)

Abstract: A low threshold three-segmented composite cavity GaAlAs/GaAs laser is reported with a lowest CW threshold current of about 18 mA. It operates in stable single-mode, external differential quantum efficiency is 50~80% and the best linear relationship between light output and current remains up to 30 mW. Single frequency oscillation locking is achieved over the temperature range of around 5°C and the highest temperature for CW lasing is 117°C.

Key words: inner stripe structure, three segmented composite cavity

近几年来, 半导体激光器的研究越来越趋向于低阈值电流、稳定的单模工作及大功率输出等方向发展。我们设计制做了一种新的三段复合腔激光器, 并在降低阈值电流、提供稳定的单纵模输出方面, 取得了较好的结果。

一、器件结构与制造工艺

器件结构如图 1 所示, 分三段结构, 中间是一个双脊衬底结构内条形激光器, 两端为沟槽衬底内条形激光器, 可称为沟槽双脊衬底内条形复合腔激光器 (Channeled twin-ridge substrate inner stripe composite cavity laser, 或 CTRS-IS 激光器)。双脊部分的腔长为 L_t , 沟槽部分的腔长为 L_c , 一般总选择 $L_t \gg L_c$ 。

器件设计基于下面的考虑: 1. 大光腔结构是降低腔面光密度、增大光输出的一种有效办法, 而我们的器件设计虽然也采用大光腔结构, 但由于利用沟槽衬底和双脊衬底不同的结构和非平面衬底液相外延的生长特性, 使大光腔结构中的波导层在沟槽衬底区较厚而在双脊衬底区较薄, 从而在腔面处会得到较大的束斑尺寸, 有利于高功率的输出。双脊区薄的波导会加强光限制, 降低器件的阈值电流; 2. 采用内条形结构来限制侧向电流扩展和载流子扩散, 提高电流注入效率; 3. 本器件的侧向模式选择通过折射率导引完成, 在沟槽衬底区, 有源层和波导层的隐埋星月形结构会形成侧向弱折射率限制; 在双脊衬底区, 由矩形沟槽的双脊结构形成的侧向突变折射率抛面, 也可得到模式限制。因此, 复合腔激光器各部分都有很好的侧向模式选择; 4. 由于结构不同, 沟槽衬底区上的 DH 和双脊衬底区上的 DH 的交界面会产生弱反射率, 引起两个区域之间的干涉效应, 这种干涉效应会使激光器的反射率变为随波长变化的周期函数, 因而处于反射率最大值的波长容易激射, 这种效应主要决定于腔长选择和交界面弱反射率的大小, 器件设计各段腔长比例较大, 是容易产生单纵模的。

制做工艺: 首先在晶面(100)的 P^+ -GaAs 衬底上, 沿 [011] 方向刻蚀出台面和平面交错的图形, 台面宽度约 $20\sim22 \mu\text{m}$, 用液相外延方法在刻蚀好的衬底上生长出层厚约 $1 \mu\text{m}$ 的 n^+ -GaAs 电流阻挡层, 然后在一次外延片上利用光刻腐蚀的办法, 刻蚀出沟槽作为电流通道。沟槽的宽度和深度在沟槽衬底区分别为 $6\sim7 \mu\text{m}$ 和 $2\sim2.5 \mu\text{m}$, 而在双脊区则分别为 $4\sim5 \mu\text{m}$ 和 $1.5\sim2 \mu\text{m}$ 。选择这样尺寸是为了在二次外延时, 双脊区的窄沟槽能被迅速填平, 利用双脊的矩形结构生长较薄的波导层, 而在沟槽衬底区填平宽沟槽的速度比双脊区要慢一些, 这样可以在相同时间内生长出较厚的波导层。二次外延的各层为: 1. p - $\text{Ga}_{0.62}\text{Al}_{0.38}\text{As}$ 限制层; 2. p - $\text{Ga}_{0.80}\text{Al}_{0.20}\text{As}$ 波导层; 3. n -GaAs 有源层; 4. n - $\text{Ga}_{0.62}\text{Al}_{0.38}\text{As}$ 限制层; 5. n -GaAs 接触层。制备好的外延片, 经电极制备、管芯解理和组装等工艺, 即得到可以测试的器件。一般的激光器总腔长 $L=160\sim280 \mu\text{m}$, 其中沟槽衬底区的长度 $L_c=20\sim30 \mu\text{m}$ 。

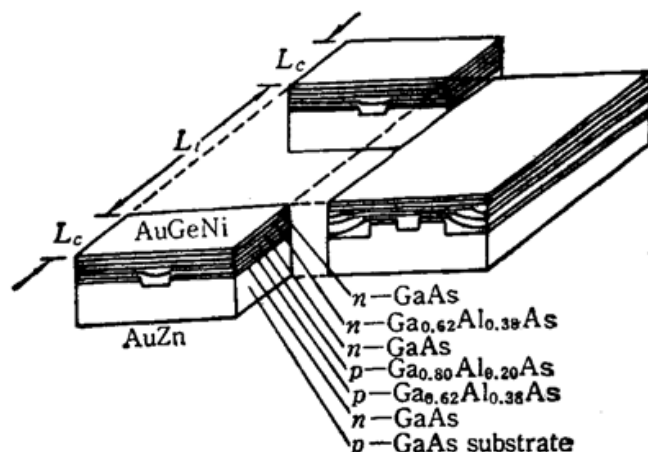


Fig. 1 Schematic representation of a CTRS-IS laser

二、CTRS-IS 激光器的特性

1. 阈值特性 已研制出的 CTRS-IS 激光器获得了室温连续工作, 最低阈值电流为 18 mA , CW 阈值电流范围为 $18\sim80 \text{ mA}$ 。

2. 连续输出特性 CTRS-IS 激光器的光功率与注入电流的关系一般是线性关系, 图 2 是典型的 CTRS-IS 激光器 P - I 曲线, 可以看到器件线性功率输出可保持到 30 mW , 最高功率为 42 mW , 功率输出在线性区以上的变曲部分是由于二极管热饱和造成的, 这种热饱和是由管芯组装散热不良所产生的。这种解释可以用脉冲电流驱动激光器的实验证明, 已获得的脉冲峰值功率可以达到 500 mW 以上, 说明如果管芯有很好的散热则激光器线性功率输出会

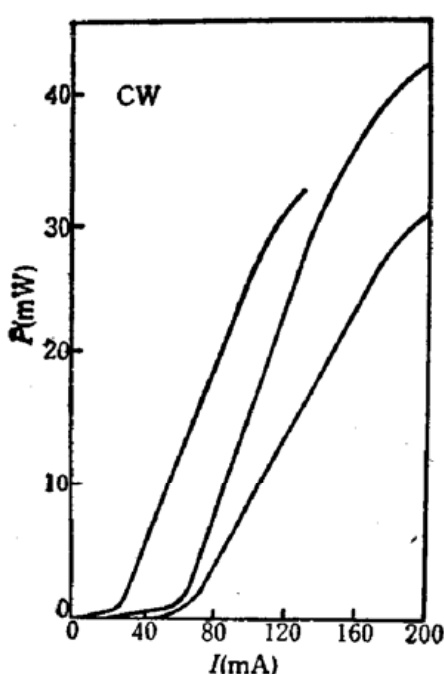


Fig. 2 Typical I - P characteristics of CTRS-IS lasers at CW operation

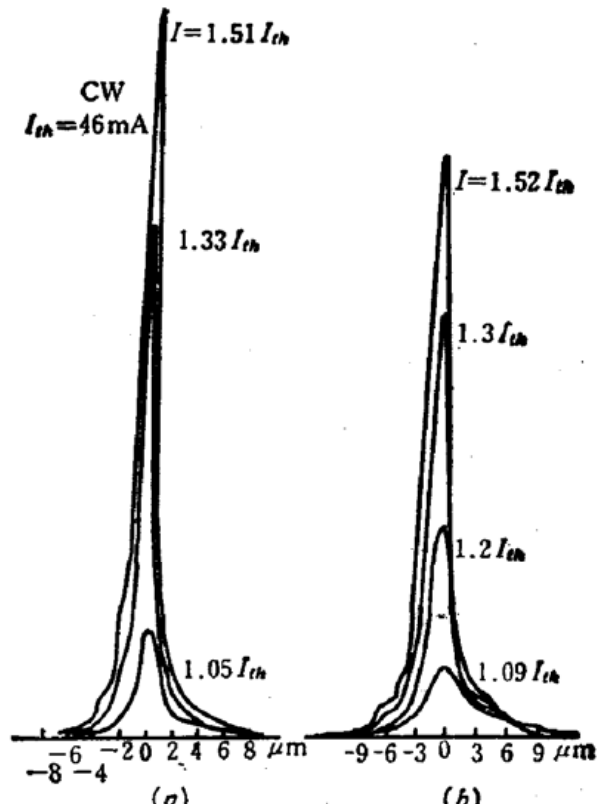


Fig. 3 Near field spot size patterns
(a) perpendicular to the junction plane;
(b) parallel to the junction plane.

提高很多。在线性工作区激光器的外微分量子效率为 50~80%。由于 CTRS-IS 激光器采用了较好的电流限制, 提高了电流注入效率, 所以外微分量子效率较高。

3. 近场束斑特性 为了分析空间模式, 我们测量了激光器的近场光强分布, 图 3 是典型的 CW 测试结果, 可以看出器件是以基横模工作, 半极大功率全宽度在垂直结平面方向约 $1.3 \mu\text{m}$, 在平行结平面方向约 $3.1 \mu\text{m}$ 。

4. P - I 曲线随温度变化特性 CTRS-IS 激光器的光输出随温度变化特性已被测量, 图 4 是实验结果, 图(a)为直流情况, 整个温度变化区域中基本是线性输出, 最高激射温度为 117°C , 测得的特征温度(T_0)在 $27\sim65^\circ\text{C}$ 内为 200 K , 在 $65\sim90^\circ\text{C}$ 内为 125 K , 而在 $90\sim117^\circ\text{C}$ 内为 56 K 。可以看出这种器件温敏性较好。图(b)是脉冲电流驱动的测试结果, 直到 154°C 激光器仍能以 60 mW 的峰值功率工作, 由于管芯是由 In 焊料组装到热沉上的, 受到 In 熔化温度 156.2°C 的限制, 更高温度的脉冲测量没有得到。

5. 纵模特性 图 5 所示为一个阈值电流为 18 mA 的激光器 P - I 特性和在三个确定电流下的光谱。从 26 mA ($1.4 I_{th}$) 开始到 45 mA ($2.5 I_{th}$), 激光器一直保持单纵模工作, 无跳模现象, 在 12 mA 电流变化范围内, 边模抑制比大于 30(功率比), 其波长随电流的变化率为 0.041 nm/mA 。

6. 纵模的温度锁定特性 图 6 是一个 CTRS-IS 激光器在固定工作电流条件下改变热沉温度, 测试的激光波长随温度变化的结果, 温度由 24°C 变化到 35°C ; 工作电流为 52 mA ; $I_{th}=40\text{ mA}$; 总腔长 $L=139\text{ } \mu\text{m}$, 其中 $L_t=105\text{ } \mu\text{m}$, $L_e=15, 19\text{ } \mu\text{m}$ 。可以看到波长跳动发生在 26.2°C 和 31°C , 多模振荡仅发生在这两个跳动区域内, 温度锁定范围约 5°C , 在锁定区域

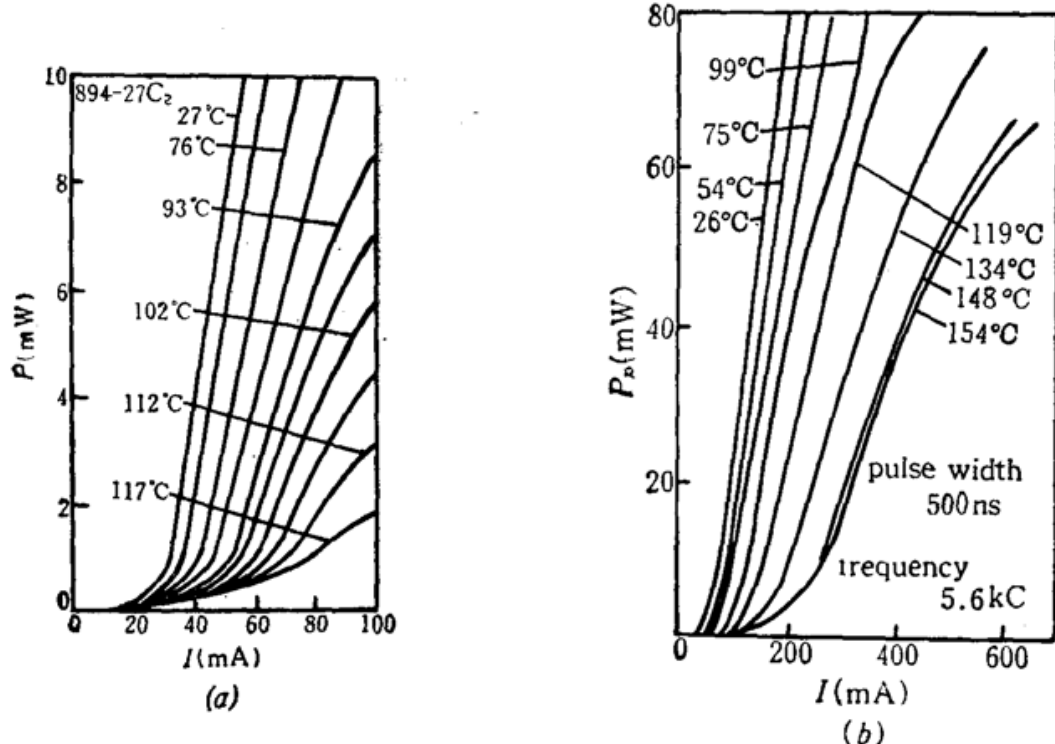


Fig. 4 (a) CW light/current characteristics at temperatures ranging from 27 to 117°C;
(b) pulse light/current characteristics at temperatures ranging from 26 to 154°C

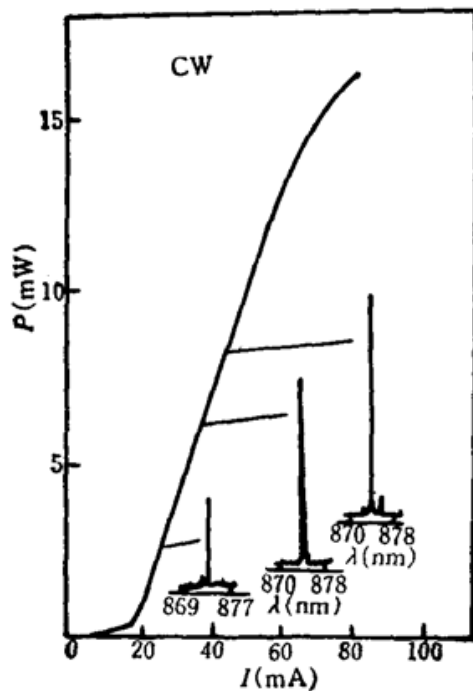


Fig. 5 CW light/current characteristics of a CTRS-IS laser and its lasing spectra at the indicated currents

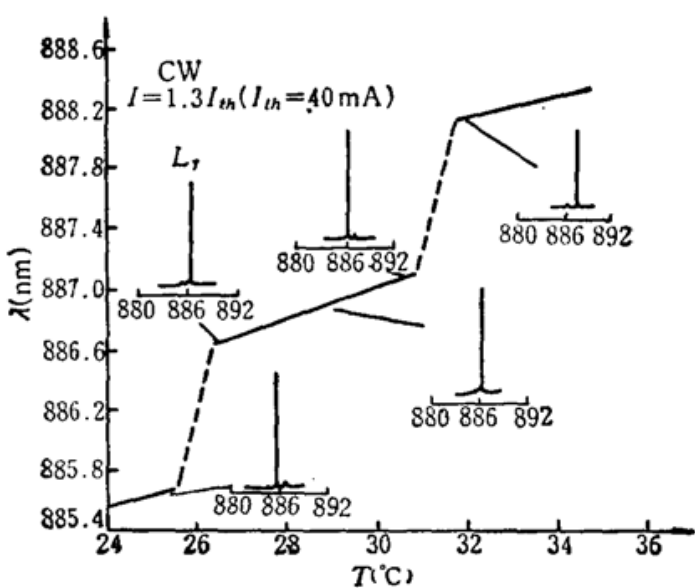


Fig. 6 Temperature dependence of lasing wavelength of a CTRS-IS laser ($L_t=105\mu\text{m}$; $L_o=15, 19\mu\text{m}$; $L=139\mu\text{m}$) operated at $1.3I_{th}$ under direct current pumping. Also shown are lasing spectra at 25.4, 26.5, 29, 31 and 32°C

内，激光器保持单纵模工作，边模抑制比大于30(功率比)，其波长随温度的变化率为0.087 nm/°C。